

93-150



ОБЪЕДИНЕННЫЙ
ИНСТИТУТ
ЯДЕРНЫХ
ИССЛЕДОВАНИЙ
ДУБНА

P4-93-150

С.И.Виницкий, Е.В.Инопин *, Н.А.Чеканов*

РЕШЕНИЕ ДВУМЕРНОГО
УРАВНЕНИЯ ШРЕДИНГЕРА
В САМОСОГЛАСОВАННОМ БАЗИСЕ

Направлено в Оргкомитет Международной конференции
"Laser Physics-93", июнь-июль 1993, Москва

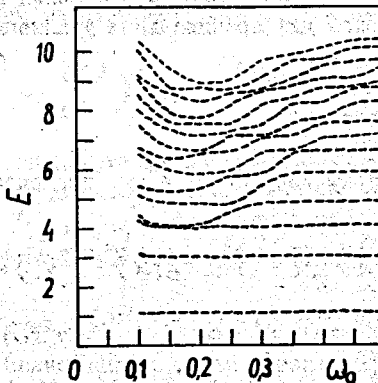
*Харьковский физико-технический институт

ДОКУМЕНТЫ
БИБЛИОТЕКА

1993

I. Введение

I. Аналитические выражения для энергетических спектров и волновых функций двумерного уравнения Шредингера удается получить крайне редко, поэтому для нахождения этих квантовых характеристик используются численные методы. Одним из эффективных и хорошо разработанных методов решения уравнения Шредингера является метод диагонализации или обратной итерации подпространств^{/1,2/}. Однако эффективность метода диагонализации снижается в энергетическом диапазоне, где в классическом пределе движение хаотическое. Если вычислять спектры многомерных гамильтоновых систем, поверхности потенциальной энергии (ППЭ) которых имеют несколько локальных минимумов (коллективные квадрупольные поверхности колебания атомных ядер^{/3,4/}), то точность численных расчетов энергетических уровней резко ухудшается. Например, для гамильтониана квадрупольных поверхностных колебаний с одним минимумом на ППЭ при диагонализации соответствующей матрицы размером 800x800 приблизительно 1/3+1/4 часть уровней имеют точность нескольких процентов от среднего расстояния между соседними уровнями^{/5,6/}. При диагонализации таких же размеров матрицы, но при значениях параметров гамильтониана, допускающих наличие четырех локальных минимумов на ППЭ, приблизительно такую же точность имеют лишь первые 10-15 уровней. Причем в последнем случае указанная точность достигается благодаря тщательному подбору варьируемой частоты ω базиса, оптимальное значение которой различно для различных уровней (см. рис.). Точность расчета волновых функций, как правило, хуже.



Исследование двумерных гамильтоновых систем ППЭ которых имеют несколько локальных минимумов (см., например, ^{7,3,4}), представляет большой интерес. Известно ^{7,3}, что для многих систем такого типа существуют смешанные состояния, когда при одной и той же энергии в разных минимумах ППЭ реализуются различные классические режимы действия. Изучение свойств энергетического спектра и волновых функций таких смешанных состояний позволяет углубить понимание квантовых проявлений классического хаоса и явления квазипресечений энергетических уровней ⁸.

Представляет интерес также исследование влияния хаотических режимов движения на процесс туннелирования между локальными минимумами, в которых характер классического движения может быть как случайным, так и регулярным ^{9,10}.

В настоящей работе предлагается альтернативный способ решения стационарного двумерного уравнения Шредингера, приводящий его к бесконечной линейной системе обыкновенных дифференциальных уравнений (ОДУ) одной переменной. Такой подход представляется более перспективным, чем диагонализация, в силу того, что по одной переменной проводится точное (численное) интегрирование, а редукция осуществляется только по другой переменной, т.е. бесконечная линейная система ОДУ заменяется конечной. При дальнейшей дискретизации обыкновенных дифференциальных уравнений методом конечных разностей предложенный подход можно сравнивать с методом диагонализации, но со специальным подбором базисных функций, согласованных с видом потенциалов данной задачи, который позволяет существенно повысить скорость сходимости разложений искомых решений.

В данной работе реализация предлагаемого метода решения двумерного уравнения Шредингера проводится для C_{3v} инвариантного гамильтониана. В этом случае для численного решения полученных краевых задач для трех систем дифференциальных уравнений рассмотрены численные схемы.

2. Основные уравнения

В декартовой системе координат C_{3v} инвариантный гамильтониан выберем в виде

$$H = -\frac{1}{2} \left(\frac{\partial^2}{\partial x^2} + \frac{\partial^2}{\partial y^2} \right) + \frac{1}{2}(x^2 + y^2) + \beta(x^2y - \frac{1}{3}y^3) + C(x^2 + y^2)^2. \quad (I)$$

В полярных координатах $x = r \cos \varphi$, $y = r \sin \varphi$, в которых C_{3v} инвариантность проявляется ярко, гамильтониан (I) принимает следующую форму

$$H = -\frac{1}{2} \left(\frac{\partial^2}{\partial r^2} + \frac{1}{r} \frac{\partial}{\partial r} + \frac{1}{r^2} \frac{\partial^2}{\partial \varphi^2} \right) + \frac{r^2}{2} + \frac{8r^3}{3} \cos 3\varphi + Cr^4. \quad (2)$$

Стационарное уравнение Шредингера $H\psi = E\psi$ при замене

$$\psi(r, \varphi) = \frac{U(r, \varphi)}{r}, \quad (3)$$

которая приводит к исчезновению первой производной по радиальной переменной, в полярных координатах можно переписать в виде

$$\left(\frac{\partial^2}{\partial r^2} + \frac{1}{r^2} \frac{\partial^2}{\partial \varphi^2} \right) U + 2[E - \alpha(r) - \beta(r) \sin 3\varphi] U = 0, \quad (4)$$

где введены обозначения

$$\alpha(r) = \frac{r^2}{2} + Cr^4 - \frac{1}{8r^2}, \quad (5a)$$

$$\beta(r) = \frac{6r^3}{3}. \quad (5b)$$

Свойства симметрии гамильтониана (I) подсказывают, что решение уравнения (4) надо искать в виде следующего разложения:

$$U(r, \varphi) = \sum_{L \geq 0} U_L^{(j)}(r) e_L^{(j)}(\varphi), \quad j = \pm 1, \quad (6)$$

где функции $e_L^{(j)}(\varphi)$ определены как

$$e_L^{(j)} = \frac{1}{\sqrt{2}} [\phi_L + j(-1)^L \phi_{-L}^*], \quad (7a)$$

$$\phi_L = \frac{1}{\sqrt{2\pi}} \exp(-iL\varphi), \quad L \geq 0. \quad (7b)$$

Легко показать, что функции $e_L^{(j)}$ составляют полный базис по угловой переменной на отрезке $[0, 2\pi]$ с условием нормировки

$$(e_L^{(j)}, e_L^{(j)}) = 2 \delta_{j,0} \delta_{jj} \delta_{LL} \quad (8)$$

и реализуют все три неприводимые представления дискретной группы C_{3v} ^{III}. (Круглые скобки обозначают скалярное произведение).

Поскольку $\phi_L = \phi_L^*$ (звездочка обозначает комплексное сопряжение), то базисные функции $e_L^{(j)}$ имеют вид:

$$e_L^{(j)} = \begin{cases} \frac{1}{\sqrt{\pi}} \cos 2\ell\varphi & \text{если } L = 2\ell, \\ -\frac{i}{\sqrt{\pi}} \sin(2\ell+1)\varphi & \text{если } L = 2\ell+1, \ell=0,1,\dots \end{cases} \quad (9a)$$

$$e_L^{(-)} = \begin{cases} \frac{-i}{\sqrt{\pi}} \sin 2\ell \varphi & \text{если } L = 2\ell, \\ \frac{i}{\sqrt{\pi}} \cos(2\ell+1)\varphi & \text{если } L = 2\ell+1, \ell = 0, 1, 2, 3, \dots \end{cases} \quad (9)$$

Для дальнейшего разложения (6) запишем с явным учетом выражений

$$(9) \quad u(r, \varphi) = \sum_{\ell=0}^{\infty} \left\{ u_{2\ell}^{(+)} \cos 2\ell \varphi + u_{2\ell+1}^{(+)} \sin(2\ell+1)\varphi + \frac{(-)}{2\ell} \frac{s_{2\ell} \sin 2\ell \varphi + c_{2\ell} \cos 2\ell \varphi}{2u_1} \right\} \quad (10)$$

Проектируя функцию $u(r, \varphi)$ на базисные функции (7) и принимая во внимание условия нормировки (8) и соотношения

$$\frac{\partial^2 e_L^{(j)}}{\partial \varphi^2} = -L^2 e_L^{(j)}, \quad (IIa)$$

$$(e_L^{(j)}, \sin 3\varphi, e_L^{(j)}) = \frac{-i}{2} \delta_{jj} \left[\delta'_{L-L-3} - \delta'_{L-L+3} - i(-1)^L \delta'_{L+3} \right], \quad (IIb)$$

получаем следующие четыре бесконечные линейные системы ОДУ

$$\begin{aligned} \hat{D}_0 [u_0^{(+)}] - \beta u_3^{(+)} &= 0 \\ \hat{D}_3 [u_3^{(+)}] + \beta [u_6^{(+)} - u_0^{(+)}] &= 0 \\ \hat{D}_6 [u_6^{(+)}] - \beta [u_9^{(+)} - u_3^{(+)}] &= 0 \\ \hat{D}_9 [u_9^{(+)}] + \beta [u_{12}^{(+)} - u_6^{(+)}] &= 0 \end{aligned} \quad (12)$$

$$\begin{aligned} \hat{D}_{12} [u_{12}^{(+)}] - \beta [u_{15}^{(+)} - u_9^{(+)}] &= 0 \\ \hat{D}_3 [u_3^{(-)}] - \beta u_6^{(-)} &= 0 \\ \hat{D}_6 [u_6^{(-)}] + \beta [u_9^{(-)} - u_3^{(-)}] &= 0 \end{aligned}$$

$$\hat{D}_9 [u_9^{(-)}] - \beta [u_{12}^{(-)} - u_6^{(-)}] = 0 \quad (13)$$

$$\hat{D}_{12} [u_{12}^{(-)}] + \beta [u_{15}^{(-)} - u_9^{(-)}] = 0$$

$$\hat{D}_1 [u_1^{(+)})] + \beta [u_4^{(+)} - u_2^{(+)}] = 0$$

$$\hat{D}_2 [u_2^{(+)})] - \beta [u_5^{(+)} + u_1^{(+)}] = 0$$

$$\hat{D}_4 [u_4^{(+)})] - \beta [u_7^{(+)} - u_1^{(+)}] = 0$$

$$\hat{D}_5 [u_5^{(+)})] + \beta [u_8^{(+)} - u_2^{(+)}] = 0$$

$$\hat{D}_7 [u_7^{(+)})] + \beta [u_{10}^{(+)} - u_4^{(+)}] = 0$$

$$\hat{D}_1 [u_1^{(-)}] - \beta [u_4^{(-)} + u_2^{(-)}] = 0$$

$$\hat{D}_2 [u_2^{(-)}] + \beta [u_5^{(-)} - u_1^{(-)}] = 0$$

$$\hat{D}_4 [u_4^{(-)}] + \beta [u_7^{(-)} - u_1^{(-)}] = 0$$

$$\hat{D}_5 [u_5^{(-)}] - \beta [u_8^{(-)} - u_2^{(-)}] = 0$$

$$\hat{D}_7 [u_7^{(-)}] - \beta [u_{10}^{(-)} - u_4^{(-)}] = 0 \quad (15)$$

Здесь дифференциальный оператор, входящий в системы (12)-(15), определен как

$$\hat{D}_1 = \frac{d^2}{dr^2} + 2 \left[E - U_1(r) \right], \quad (16a)$$

$$U_1(r) = \frac{L^2}{2r^2} + \alpha(r), \quad (19a)$$

а величина $\alpha(r)$ задана выражением (5a).

Полученные системы (12)-(15), состоящие из бесконечного числа ОДУ радиальной переменной, в матричном представлении для операторов

$$A_1 = \begin{bmatrix} \hat{\mathcal{D}}_0 & -\beta & 0 & 0 & 0 & \dots \\ -\beta & \hat{\mathcal{D}}_3 & \beta & 0 & 0 & \dots \\ 0 & \beta & \hat{\mathcal{D}}_6 & -\beta & 0 & \dots \\ 0 & 0 & -\beta & \hat{\mathcal{D}}_9 & \beta & \dots \\ \vdots & \vdots & \vdots & \vdots & \vdots & \ddots \end{bmatrix} \quad (17)$$

$$A_2 = \begin{bmatrix} \hat{\mathcal{D}}_3 & -\beta & 0 & 0 & 0 & \dots \\ -\beta & \hat{\mathcal{D}}_6 & \beta & 0 & 0 & \dots \\ 0 & \beta & \hat{\mathcal{D}}_9 & -\beta & 0 & \dots \\ 0 & 0 & -\beta & \hat{\mathcal{D}}_{12} & \beta & \dots \\ \vdots & \vdots & \vdots & \vdots & \vdots & \ddots \end{bmatrix} \quad (18)$$

$$E^{(+)} = \begin{bmatrix} \hat{\mathcal{D}}_1 & -\beta & \beta & 0 & 0 & 0 & \dots \\ -\beta & \hat{\mathcal{D}}_2 & 0 & -\beta & 0 & 0 & \dots \\ \beta & 0 & \hat{\mathcal{D}}_4 & 0 & -\beta & 0 & \dots \\ 0 & -\beta & 0 & \hat{\mathcal{D}}_5 & 0 & \beta & \dots \\ 0 & 0 & -\beta & 0 & \hat{\mathcal{D}}_7 & 0 & \beta & \dots \\ \vdots & \vdots & \vdots & \vdots & \vdots & \vdots & \ddots \end{bmatrix} \quad (19a)$$

$$E^{(-)} = \begin{bmatrix} \hat{\mathcal{D}}_1 & -\beta & -\beta & \beta & 0 & 0 & 0 & \dots \\ -\beta & \hat{\mathcal{D}}_2 & 0 & \beta & 0 & 0 & 0 & \dots \\ -\beta & 0 & \hat{\mathcal{D}}_4 & 0 & \beta & 0 & 0 & \dots \\ 0 & \beta & 0 & \hat{\mathcal{D}}_5 & 0 & \beta & 0 & \dots \\ 0 & 0 & \beta & 0 & \hat{\mathcal{D}}_7 & 0 & -\beta & \dots \\ \vdots & \ddots \end{bmatrix} \quad (19b)$$

и собственных векторов

$$U_1 = \text{Col} \{ U_0^{(+)}, U_3^{(+)}, U_6^{(+)}, \dots \},$$

$$U_2 = \text{Col} \{ U_3^{(-)}, U_6^{(-)}, U_9^{(-)}, \dots \}, \quad (20)$$

$$U^{(+)} = \text{Col} \{ U_1^{(+)}, U_2^{(+)}, U_4^{(+)}, U_5^{(+)}, \dots \},$$

$$U^{(-)} = \text{Col} \{ U_1^{(-)}, U_2^{(-)}, U_4^{(-)}, U_5^{(-)}, \dots \}$$

принимают вид

$$A_1 U_1 = 0,$$

$$A_2 U_2 = 0,$$

$$E^{(+)} U^{(+)} = 0,$$

$$E^{(-)} U^{(-)} = 0.$$

Решая задачу на собственные значения для уравнений (21) при заданных граничных условиях первого рода в начале координат и на бесконечности, для собственных векторов (20) можно получить три независимые последовательности энергетических уровней и соответствующие волновые функции, которые принято обозначать буквами A_1 , A_2 и E . Напомним, что состояния E -типа двукратно вырождены, поэтому существует унитарная матрица V такая, что $V^{-1} E V = E^{(+)}$, и это приводит к одному и тому же спектру для матриц (19a) и (19b).

3. Дискретизация уравнений

3.1. Метод диагонализации

Рассмотрим две численные схемы решения полученных уравнений (21).

Прямой путь решения сингулярной задачи (21) состоит в переходе к регулярной задаче и замене дифференциального оператора (16a) конечными разностями на конечном отрезке $[0, R]$. В результате с учетом граничных условий бесконечную систему (21) можно свести к алгебраической задаче на собственные значения. Дифференциальный оператор (16a) аппроксимируем конечными разностями с помощью формулы Нумерота¹² (поскольку первая производная по независимой переменной отсутствует). Тогда, например, уравнения-(14) для состояний Е-типа приводятся к следующей линейной алгебраической системе

$$(A - \lambda B)\mathcal{X} = 0. \quad (22)$$

Матрицы, входящие в выражение (22), определяются следующим образом

$$A = \begin{bmatrix} A_1 & C & -C & 0 & 0 & 0 & 0 & 0 & - \\ C & A_2 & 0 & C & 0 & 0 & 0 & 0 & - \\ -C & 0 & A_4 & 0 & C & 0 & 0 & 0 & - \\ 0 & C & 0 & A_5 & 0 & -C & 0 & 0 & - \\ 0 & 0 & C & 0 & A_7 & 0 & -C & 0 & - \\ 0 & 0 & 0 & -C & 0 & A_8 & 0 & C & - \\ - & - & - & - & - & - & - & - & - \end{bmatrix} \quad (23)$$

$$B = \text{diag}(B, B, B, \dots),$$

где A, B и C обозначают матрицы размерностью $R \times R$ (R – число точек по радиальной переменной) и имеют вид

$$A = \begin{bmatrix} \xi_L(1) & \eta_L(2) & 0 & 0 & 0 & - \\ \eta_L(1) & \xi_L(2) & \eta_L(3) & 0 & 0 & - \\ 0 & \eta_L(2) & \xi_L(3) & \eta_L(4) & 0 & - \\ 0 & 0 & \eta_L(3) & \xi_L(4) & \eta_L(5) & - \end{bmatrix} \quad (24)$$

Здесь функции $\xi_L(r)$ и $\eta_L(r)$ в n -й точке дискретной сетки с шагом h по радиальной переменной определяются через эффективный потенциал (16b)

$$\xi_L(n) = 2 + \frac{5h^2}{3} U_1(n), \quad \eta_L(n) = -4 + \frac{h^2}{6} U_1(n) \quad (25)$$

$$B = \begin{bmatrix} 10 & 1 & 0 & 0 & 0 & - \\ 1 & 10 & 1 & 0 & 0 & - \\ 0 & 1 & 10 & 1 & 0 & - \\ 0 & 0 & 1 & 10 & 1 & - \\ - & - & - & - & - & - \end{bmatrix} \quad (26)$$

$$C = \begin{bmatrix} 10\varphi(1) & \varphi(2) & 0 & 0 & - \\ \varphi(1) & 10\varphi(2) & \varphi(3) & 0 & - \\ 0 & \varphi(2) & 10\varphi(3) & \varphi(4) & - \\ - & - & - & - & - \end{bmatrix} \quad (27)$$

Столбец \mathcal{X} из выражения (22), состоящий из M неизвестных функций (14), представим в виде

$$\mathcal{X} = \text{Col} \left\{ u_1^{(+)}(1), u_1^{(+)}(2), u_1^{(+)}(3), \dots, u_1^{(+)}(R), \right. \\ \left. u_2^{(+)}(1), u_2^{(+)}(2), u_2^{(+)}(3), \dots, u_2^{(+)}(R), \right. \\ \left. u_4^{(+)}(1), u_4^{(+)}(2), u_4^{(+)}(3), \dots, u_4^{(+)}(R), \right. \\ \left. \dots, \dots \right\} \quad (28)$$

Поскольку матрицы A и B симметричные и матрица B дополнительно положительно определена, то собственные значения $\lambda = \frac{1}{6} h^2 E$ в уравнении (22) вещественные¹³.

Рассмотренный подход к численному решению исходных бесконечных систем ОДУ (12)-(15) требует суперкомпьютеров, хотя использование специальных программ для диагонализации сильно разреженных матриц типа (23)-(27) значительно уменьшает требуемые ресурсы¹³. Более перспективной может оказаться другая численная схема расчета систем типа (21).

3.2. Итерационный метод

Перенимем систему (12)-(15), состоящую из ОДУ второго порядка, как систему ОДУ первого порядка. Например, для состояний Е-типа будем иметь

$$y_1 = y_2 \\ y_2 = g_1 y_1 + \beta (y_5 - y_3) \quad (29)$$

$$\dot{y}_3 = y_4$$

$$\dot{y}_4 = y_2 y_3 - \beta (y_7 - y_1)$$

$$\dot{y}_5 = y_6$$

$$\dot{y}_6 = y_4 y_5 - \beta (y_9 - y_1)$$

$$\dot{y}_7 = y_8$$

$$\dot{y}_8 = y_5 y_7 + \beta (y_{11} - y_3),$$

где функция $g_1(r) = [U_1(r) - E]$, а точка означает дифференцирование по переменной r .

Введем вектор-столбец

$$y = \{y_1, y_2, y_3, \dots, y_{2M}\} = \{u_1^{(1)}, u_1^{(2)}, u_2^{(1)}, u_2^{(2)}, \dots\}, \quad (30)$$

и систему (29), ограничившись $2M$ уравнениями, запишем в редуцированном виде

$$\dot{y}_i = \sum_k e_{ik}(r) y_k, \quad (i, k = 1, 2, \dots, 2M), \quad (31)$$

где матричные элементы $e_{ik}(r)$ определяются из выражения (29).

Как известно из теории ОДУ первого порядка [14], решение (31) можно представить в виде линейной комбинации

$$y_i = \sum_k c_k z_k^{(i)}, \quad c_k = \text{const} \quad (32)$$

из $2M$ линейно независимых решений

$$z^{(j)} = \{z_1^{(j)}, z_2^{(j)}, \dots, z_{2M}^{(j)}\}, \quad (j = 1, 2, \dots, 2M)$$

той же системы (31) с некоторыми начальными условиями.

Для нахождения неизвестных коэффициентов c_k в выражении (32) надо учесть граничные условия на волновые функции (30), которые согласно принятому обозначению (30) определяются решениями (32) с нечетным индексом, т.е. $z_{2n-1}(r)$, $n=1, \dots, M$. (Можно показать, что волновые функции вблизи начала координат ведут себя как $u \sim r^{L+1/2}$). Тогда граничные условия $z_{2n-1}(0)=0$ и $z_{2n-1}(\infty)=0$ приводят к линейной системе алгебраических уравнений относительно неизвестных коэффициентов c_k . Нетривиальное решение этой системы опре-

деляется из равенства нулю соответствующего детерминаната

$\det \|z_k^{(j)}(E)\| = 0$, которое выполняется не при всех, а при определенных значениях энергии. С помощью подходящих численных процедур можно найти энергетический спектр и соответствующие волновые функции (3) исходной задачи.

Литература

1. Уилкинсон Дж. Алгебраическая проблема собственных значений. - М.: Наука, 1970.
2. Уилкинсон Дж., Райнш Г. Справочник алгоритмов на языке алгол. Линейная алгебра. - М.: Машиностроение, 1976.
3. Болотин Ю.Л., Гончар В.Ю., Тарасов В.Н., Инопин Е.В., Чеканов Н.А. и др. Стохастическая ядерная динамика. ЭЧЯ, 1989, т.20, вып.4, стр. 878-929.
4. Болотин Ю.Л., Гончар В.Ю., Тарасов В.Н., Чеканов Н.А. Стохастическая динамика квадрупольных колебаний изотопов криптона. Препринт ХФТИ 88-43, М.; ЦНИИАтоминформ, 1980.
5. Bolotin Yu.L., Gonchar V.Yu., Tarasov V.N., Chekanov N.A. The transition regularity-Chaos-regularity and statistical properties of energy spectra. Phys.Lett., 1989, v.A135, p.29-32.
6. Bolotin Yu.L., Gonchar V.Yu., Tarasov V.N., Chekanov N.A. The transition regularity-chaos-regularity and statistical properties of wave functions. Phys.Lett., 1990, v.A144, p.459-461.
7. Болотин Ю.Л., Гончар В.Ю., Инопин Е.В., Хаос и катастрофы в квадрупольных колебаниях ядер, ЯФ, 1987, т.45, с.350-356.
8. Bolotin Yu.L., Chekanov E.A., Gonchar V.Yu. et al. Quantum spectra of non-integrable classical systems in transition to chaos region. Preprint JINR E4-90-566, Dubna, 1990.
9. Wilkinson M. Tunneling between tori in phase space. Physics, 1986, v.D 21, p.341-354.
10. Wilkinson M., Hanny J.H. Multidimensional tunneling between excited states. Physica, 1987, v. D 27, p.201-212.
- II. Слэтер Дж. Электронная структура молекул. - М.: Мир, 1965.
12. Корн Г., Кррн Т. Справочник по математике. - М.: Наука, 1978.
13. Парлет Б. Симметричная проблема собственных значений. Численные методы. - М.: Мир, 1983.
14. Айнс Э.Л. Обыкновенные дифференциальные уравнения. - Харьков: Гос. научно-техн. изд-во Украины, 1989.

Рукопись поступила в издательский отдел
27 апреля 1993 года.